

## ЛИТЕРАТУРА

1. В. А. Белый, Н. И. Егоренков, Ю. М. Плескачевский, Высокомолек. соед., Б12, 643, 1970.
2. Энциклопедия полимеров, т. 2, «Советская энциклопедия», 1974, стр. 1032.
3. Б. И. Сажин, А. М. Лобанов, М. П. Эйдельмант, С. Н. Койков, О. С. Романовская, Электрические свойства полимеров, «Химия», 1970, стр. 376.
4. В. Е. Гуль, Л. Н. Царский, Н. С. Майзель, Л. З. Шенфиль, В. С. Журавлев, Н. Г. Щибря, Электропроводящие полимерные материалы, «Химия», 1968, стр. 248.
5. Г. Улиг, Коррозия металлов, «Металлургия», 1968, стр. 306.
6. Л. Беллами, Инфракрасные спектры сложных молекул, Изд-во иностр. лит., 1963, стр. 592.
7. А. Эллиот, Инфракрасные спектры и структура полимеров, «Мир», 1972, стр. 160.

УДК 541.64 : 532.77

## О СРАВНИТЕЛЬНОЙ ДИФИЛЬНОСТИ ПОЛИДЕЦИЛ- И ПОЛИЦЕТИЛАКРИЛАТА В РАСТВОРАХ

В. Е. Эскин, А. И. Кипнер

К свойствам полимеров гребнеобразного строения проявляется в последнее время большой интерес. Этот класс полимеров включает не только привитые сополимеры, но и их регулярно построенные модели — гомополимеры с цепными боковыми группами [1]. Изучение структуры и свойств макромолекул полимеров последнего типа выявило две основные особенности. Первая состоит в зависимости ряда физических свойств макромолекул (например, их равновесной гибкости) от длины цепной боковой группы. Вторая особенность обусловлена различием химической структуры основного хребта макромолекулы и боковых цепей, что придает таким полимерам в растворе свойство, обычно называемое дифильностью. В узком смысле слова под этим понимают их способность образовывать молекулярные растворы в жидкостях весьма различной природы, по отношению к которым гомополимеры проявляют лишь избирательную растворимость. Таким свойством обладают, в частности, эфиры полиакриловой и полиметакриловой кислот, которые можно рассматривать как модели привитых сополимеров полиметилакрилата (ПА-1) и полиметилметакрилата (ПМА-1) с ПЭ. Действительно, ПЭ нерастворим в спиртах и растворим в нормальных углеводородах, тогда как полиакриловые эфиры (ПА) и полиметакриловые эфиры (ПМА) растворимы в тех и других. Исследование свойств этих растворов позволяет выявить определенную специфику в поведении макромолекул, связанную с различным взаимодействием растворителя с каждым из «компонентов» модельного полимера. В работе [2] обсуждалось несовпадение  $\theta$ -условий для полидецилакрилата (ПА-10) в нормальных спиртах и в *n*-декане: при  $\theta$ -температуре, когда  $A_2 = 0$ , в спиртах  $a < 1/2$ , в *n*-декане  $a > 1/2$  ( $A_2$  — второй вириальный коэффициент раствора,  $a$  — показатель степени в соотношении  $[\eta] = K_n \cdot M^a$  (см. также [1]). Подобная ситуация означает невозможность достижения одновременной компенсации меж- и внутримолекулярных взаимодействий в данной точке ( $T = \theta$ ), тогда как для гомополимеров в однокомпонентных растворителях обычно имеет место совмещение условий  $A_2 = 0$  и  $a = 1/2$  [3—5]. В качестве предполагаемой причины аномалии свойств ПА-10 в растворе было указано на возможность инвертирования конформации цепных боковых групп ПА-10 при переходе макромолекул из *n*-декана в спирты [2].

Таблица 1

**Растворимость и  $\theta$ -температура для ПА-10 и ПА-16  
в нормальных спиртах и углеводородах**

Растворитель	Растворимость, $\theta$ -точка, $^{\circ}\text{C}$	
	ПА-10	ПА-16
<i>n</i> -Пропиловый спирт	70,3	и.р.
<i>n</i> -Бутиловый »	19,5	и.р.
<i>n</i> -Амиловый »	-4,8	70
<i>n</i> -Гексиловый »	р	40
<i>n</i> -Гептиловый »	р	24,8
<i>n</i> -Октиловый »	р	Гель
<i>n</i> -Гексан	р	5
<i>n</i> -Октан	р	8
<i>n</i> -Декан	-19,6	10,2

П р и м е ч а н и е. р — растворим, и.р.— нерастворим.

Таблица 2

**Молекулярная масса и вязкость фракций ПА-16**

$M_w \cdot 10^{-5}$	[ $\eta$ ], дл/г	
	<i>n</i> -декан	<i>n</i> -гептиловый спирт
4,55	2,575	0,642
2,94	1,850	0,600
2,08	1,650	0,511
1,18	1,100	0,415
0,23	0,350	0,185

В данной статье сообщены результаты аналогичного изучения свойств растворов полицетилакрилата (ПА-16) и обсуждается вопрос о влиянии длины цепной боковой группы на степень дифильности полимеров акрилового ряда.

ПА-16 был получен методом, описанным в работе [6], и расфракционирован дробным осаждением из 0,6%-ного раствора в гентане ацетоном на 7 фракций.

Молекулярные массы фракций ПА-16 определяли в *n*-гексане ( $20^{\circ}\text{C}$ ; инкремент  $dn/dc = 0,115$ , для  $\lambda = 546 \text{ нм}$ ) методом двойной экстраполяции данных светорассеяния ( $c \rightarrow 0$ ,  $\theta \rightarrow 0$ ). Измерения проводили на фотоэлектрическом нефелометре ФПС-2 в интервале углов  $\theta 30\text{--}150^{\circ}$ . Калибровку прибора производили по бензолу, коэффициент рассеяния которого  $I_{546} = 23,1 \cdot 10^{-6} \text{ см}^{-1}$  (для вертикально-поляризованного света).

Вязкость растворов измеряли в вискозиметре Оствальда со временем течения *n*-гептилового спирта 62,5 сек. ( $T = 24,8^{\circ}\text{C}$ ) и *n*-декана 171,8 сек. ( $T = 10,2^{\circ}\text{C}$ ). Величину [ $\eta$ ] находили экстраполяцией  $\eta_{sp}/c$  к  $c = 0$ .  $\theta$ -точку растворов ПА-16 определяли интерполяцией к  $A_2 = 0$  на графике зависимости  $A_2$  от температуры.

Растворимость ПА в нормальных спиртах и углеводородах при удлинении боковой группы полимера ухудшается, что проявляется, в частности, в увеличении  $\theta$ -температуры (отвечающей  $A_2 = 0$ ) или потере растворимости в удобной для измерений области температур ( $\approx 10\text{--}70^{\circ}\text{C}$ ), как это видно из табл. 1. В связи с этим для измерений [ $\eta$ ] ПА-16 были выбраны *n*-декан ( $\theta = 10,2^{\circ}\text{C}$ ) и *n*-гептиловый спирт ( $\theta = 24,8^{\circ}\text{C}$ ) (табл. 2). Из стандартных графиков зависимости  $\lg [\eta]$  от  $\lg M_w$  (рисунок, а) были определены постоянные  $K_n$  и  $a$  в соотношениях [ $\eta$ ] =  $f(M_w)$ :

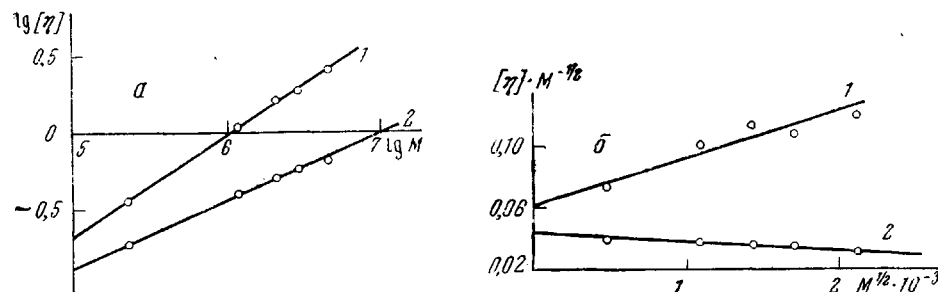
$$[\eta] = 0,923 \cdot 10^{-4} M_w^{0,67} \quad (\text{в } n\text{-декане}) \quad (1)$$

$$[\eta] = 7,25 \cdot 10^{-4} M_w^{0,45} \quad (\text{в } n\text{-гептиловом спирте}) \quad (2)$$

Далее из графиков  $[\eta]/M^{1/2} = f(M^{1/2})$  согласно уравнению Стокмайера — Фиксмана [7]

$$[\eta]/M^{1/2} = K_0 + 0,51 \cdot \Phi \cdot B \cdot M^{1/2} \quad (3)$$

по отсекаемой ординате (экстраполяция  $M^{1/2} \rightarrow 0$ ) и наклону определяли величины  $K_0$  и  $B$  (рисунок, б). Здесь  $K = \Phi (\bar{h}_0^2/M)^{1/2}$ ,  $\Phi = 2,7 \cdot 10^{23}$ ,  $B = \beta/M_A^2$ ,  $\beta$  — исключенный объем и  $M_A$  — молекулярная масса сегмента цепи,  $\bar{h}_0^2$  — средний квадрат расстояния между концами макромолекулы, не возмущенной эффектами дальнодействия. Полученные таким образом для ПА-16 значения  $K_0$  и  $B$  сопоставлены в табл. 3 с теми же вели-



Зависимость  $\lg [\eta]$  от  $\lg M$  (а) и  $[\eta] \cdot M^{1/2}$  от  $M^{1/2}$  (б) для фракций ПА-16 в *n*-декане ( $10,2^\circ$ ) (1) и *n*-гептиловом спирте ( $24,8^\circ$ ) (2)

чинами для ПА-10 [2]. Заметим, что для полимеров с заметно различной молекулярной массой повторяющегося звена цепи  $M_0$  сопоставление величины  $K_0$  не дает правильного представления об их сравнительной равновесной гибкости. С этой целью следует сопоставлять величины факторов  $\sigma = (\bar{h}_0^2/\bar{h}_{\text{ср}}^2)^{1/2}$ , где  $\bar{h}_{\text{ср}}^2$  — средний квадрат размеров молекулярного клубка при допущении полной свободы вращения вокруг валентных связей главной цепи. Через величины  $K_0$  и  $M_0$  фактор  $\sigma$  выражается (для полимеров структуры —  $\text{CH}_2 - \text{CHR}$ ) следующим образом:

$$\sigma = (\bar{h}_0^2/\bar{h}_{\text{ср}}^2)^{1/2} = \frac{K_0^{1/2} M_0^{1/2}}{3,08 \cdot 10^{-8} \Phi^{1/2}} = \frac{1}{2} K_0^{1/2} M_0^{1/2}$$

Вычисленные для ПА-16 и ПА-10 значения фактора гибкости цепи  $\sigma$  так же представлены в табл. 3. Сопоставление показывает, что и в *n*-декане и в спирте равновесная гибкость цепи для ПА-16 заметно меньше (фактор  $\sigma$  больше), чем для ПА-10. Кроме того, различие гибкости цепи в двух растворителях также больше у ПА-16.

Аналогично свойствам ПА-10 в *n*-декане и спиртах [2] величины показателей  $a$  в соотношениях (1), (2) для ПА-16 указывают, что и для этого полимера при  $A_2 = 0$ , т. е. при компенсации межмолекулярных взаимо-

Таблица 3

Термодинамические и конформационные характеристики ПА-16 и ПА-10 в *n*-декане и спиртах

Полимер	Растворитель	$a$	$K_0$	$B \cdot 10^{23}$	$\sigma$	$A, \text{ \AA}$	$\beta \cdot 10^{22}$	$(\beta/v \bar{M}_A) \cdot 10^{24}$
ПА-16	<i>n</i> -Декан ( $10,2^\circ$ )	0,67	0,062	2,3	3,40	42,0	62,7	11,9
	<i>n</i> -Гептиловый спирт ( $24,8^\circ$ )	0,45	0,044	-0,4	3,04	35,0	-7,6	-1,8
ПА-10	<i>n</i> -Декан ( $-19,6^\circ$ )	0,60	0,048	4,6	2,65	27,0	24,1	10,9
	<i>n</i> -Бутиловый спирт ( $19,5^\circ$ )	0,41	0,042	-1,0	2,54	24,6	-4,4	-2,2

действий, внутримолекулярные взаимодействия не скомпенсированы, и в отношении эффектов дальнодействия клубки ПА-16 в *n*-декане находятся выше  $\theta$ -точки ( $a > 1/2$ ), а в *n*-гептиловом спирте — ниже ее ( $a < 1/2$ ). Для того чтобы сравнить степень дифильности ПА-16 и ПА-10, целесообразно сопоставить величину их исключенных объемов  $\beta$ , которая в теории растворов полимеров Флори [3] характеризует взаимодействие полимер — растворитель. Для полимеров, отличающихся гибкостью цепи, следует при этом использовать значения  $\beta$ , отнесенные к статистическому сегменту (который и является независимой кинетической единицей цепи), а не к одному звену, как это делают для полимеров, приблизительно одинаковых по своей равновесной гибкости. Величину статистического сегмента цепи  $A$  можно вычислить, зная  $K_0$ , по соотношению

$$A = \bar{h}_0^2 / L = \bar{h}_0^2 M_0 / M\lambda = \frac{K_0^{2/3} \cdot M_0}{\Phi^{2/3}\lambda},$$

где  $L$  — полная гидродинамическая длина цепи, а  $\lambda = 2,5 \text{ \AA}$  — протяженность одного звена в направлении *транс*-цепи. Поэтому значение

$$M_A = sM_0 = M_0 \frac{A}{\lambda} = \frac{K_0^{2/3} \cdot M_0^2}{\Phi^{2/3}\lambda^2},$$

где  $s$  — среднее число звеньев в одном сегменте.

Величины  $A$  и  $\beta = BM_A^2$  также представлены в табл. 3. Значения  $\beta$  для ПА-16 превосходят (по абсолютной величине)  $\beta$  для ПА-10. Правильнее, однако, сравнивать не исключенные объемы  $\beta$  для двух полимеров, а их отношения  $\beta/\bar{v}M_A$  к собственному объему сегмента  $\bar{v}M_A$  ( $\bar{v}$  — парциальный удельный объем полимера в растворе), поскольку величины сегментов ПА-16 и ПА-10 различны. Отношения  $\beta/\bar{v}M_A$  для ПА-16 и ПА-10 в *n*-декане и в спирте соответственно оказываются очень близкими (табл. 3\*). Отсюда можно было бы заключить, что проявления дифильных свойств ПА-16 и ПА-10 в данной паре растворителей (декан — спирт) приблизительно одинаково выражены. Для окончательного суждения следует принять во внимание, что растворимость ПА в спиртах улучшается при удлинении алифатической цепочки спирта (в противоположность растворимости в нормальных алканах (табл. 1)). Измерения для ПА-16 в *n*-бутиловом спирте провести не удается, в силу чего сопоставление дифильности ПА-16 и ПА-10 возможно лишь в не вполне эквивалентных парах растворителей. Тем не менее, несмотря на то что растворяющая способность *n*-гептилового спирта по отношению к ПА-10 и ПА-16 выше, чем *n*-бутилового, проявление дифильности ПА-10 и ПА-16 в соответствующей паре *n*-декан — спирт (по величине  $\beta/\bar{v}M_A$ ) оказалось одинаковым\*\*. Указанное обстоятельство позволяет сделать вывод о том, что удлинение цепной боковой группы в ПА усиливает проявление дифильности их свойств в растворах (по крайней мере при переходе от ПА-10 к ПА-16). Заметим также, что существенное повышение жесткости цепи ПА-16 в *n*-декане сравнительно с *n*-гептиловым спиртом согласуется с предположением о конформационной инверсии боковых групп ПА в декане и спиртах, ибо преимущественное расположение боковых цепей ПА-16 внутри клубков [2] должно повлиять на равновесную гибкость цепи в большей степени, чем в случае ПА-10.

Авторы выражают благодарность Н. А. Платэ и В. П. Шибаеву, любезно предоставившим нам образец полицетилакрилата.

Институт высокомолекулярных  
соединений АН СССР

Поступила в редакцию  
3 XII 1975

\* В качестве  $\bar{v}$  использовали величины, измеренные в толуоле: 0,97 для ПА-10 и 1,01 для ПА-16, поскольку  $\bar{v}$  в разных растворителях отличаются не более, чем на несколько процентов.

\*\* Различие температуры измерений в *n*-декане менее существенно, ибо, как показали измерения в толуоле [2], температура весьма мало влияет на гибкость цепей ПА.

## ЛИТЕРАТУРА

1. N. A. Plate, V. P. Shibaev, Macromolec. Rev., 8, 117, 1974.
  2. B. E. Эскин, А. И. Кипнер, Высокомолек. соед., A16, 1862, 1974.
  3. P. J. Flory, Principles of Polymer Chemistry, N. Y., 1953.
  4. В. Н. Цветков, Б. Е. Эскин, С. Я. Френкель, Структура макромолекул в растворах, «Наука», 1964.
  5. B. E. Эскин, Рассеяние света растворами полимеров, «Наука», 1973, гл. 4.
  6. В. П. Шибаев, Б. С. Петрухин, Ю. А. Зубов, Н. А. Платэ, В. А. Каргин, Высокомолек. соед., A10, 216, 1968.
  7. W. H. Stockmayer, M. Fixman, J. Polymer Sci., C 1, 151, 1963.
- 

УДК 541.64 : 537.311

## О ВЛИЯНИИ ДЕФЕКТОВ НА ЭЛЕКТРОПРОВОДНОСТЬ ПОЛИМЕРНЫХ ПЛЕНОК

**Э. Г. Ильина, Л. С. Корецкая, В. Ф. Степанов**

В работе [1] было высказано предположение о природе аномальной зависимости электропроводности полимерных мембран, контактирующих с раствором электролита (при условии наложения постоянного электрического поля). Эта аномалия выражается в периодическом возникновении «выбросов» на кривой зависимости тока, текущего через образец, от времени. Предположено, что появление «выбросов» связано с наличием в пленке сквозных микродефектов.

В настоящей работе излагаются результаты исследования влияния микродефектов (микротрещин) на электропроводность полимерных мембран в процессе диффузии жидкой среды.

Исследовали пленки толщиной 180–200 мкм из ПЭ высокой плотности, полученные из расплава в герметично закрытом термостате, снабженном специальным прижимным устройством, обеспечивающим заданную толщину опытных образцов. Пленки формовали при 260° с последующим охлаждением со скоростью 2–3 град/мин. Условия получения пленок обеспечивали формирование структурнооднородных образцов.

Эксперименты по регистрации тока, текущего через пленку, проводили согласно методике [1] в 0,1 н. растворе HCl. Напряжение на электродах поддерживалось постоянным и составляло 100 в. Выбор величины напряжения основывался на том, что вероятность появления «выбросов» тока (через пленки указанной толщины) в этом случае была близка к единице.

Известно [2], что облучение полимера УФ-светом сопровождается одновременно протекающими процессами окисления, сшивания и деструкции макромолекул, которые приводят к появлению суб- и микротрещин, т. е. изменяется дефектность полимера. С этой целью пленки облучали в установке ОН-7 (лампа ПРК-2, 30°, расстояние от источника излучения до образца 30 см). Для получения дополнительных данных некоторые эксперименты проводили на пленках, облученных при 80°. Через временные интервалы, равные 1 часу, производили замеры тока. Дефектность пленок контролировали оптическим методом в микроскопе МИН-8 при увеличениях 70–350.

В процессе проведения экспериментов было выяснено, что электропроводность необлученных пленок, обусловленная активированной диффузией ионов электролита в мембрану, минимальна, и ток через полимер приборами не регистрируется в течение длительного времени. Оптические наблюдения при вышеуказанных увеличениях показали отсутствие микродефектов в образцах. Облучение пленок в течение времени, равного 14–16 час., не приводит к увеличению электропроводности полимера; величина тока, текущего через пленку, по-прежнему остается вне пределов чувствительности приборов. Очевидно, при начальных дозах облуче-